

تآكل الصخور الكلسية البتروخية (تربة الأساس) في مياه الصرف الصناعي

محمد علي شيخ مشاعل

الهندسة الجيوتكنيكية - كلية الهندسة المدنية

جامعة حلب - الجمهورية العربية السورية

الملخص

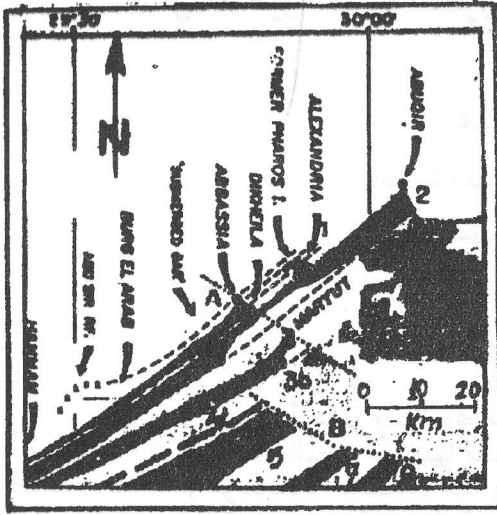
لا يقتصر تأثير طرح المياه المحملة صناعيا بأملاح الـ SO_4^{--} و Cl^- في الطبيعة، على جمال البيئة و سلامتها فحسب، بل يتخطاها إلى مواد المنشآت الهندسية (الخرسانة) و ما شيدت عليه من تربة الأساس (صخور كلسية). درست هذه العلاقة مختبريا باستخدام نموذج بسيط، توصل من خلاله إلى نتائج جديدة بالإهتمام، لدى تصميم و تنفيذ أية منشأة هندسية في وسط يتأثر بالمياه بشتى أنواعها، و خاصة الملوثة صناعيا، لما تحتويه من أملاح كيميائية ذات تأثير عدواني على الصخور الكربوناتيّة، و مما له فيما بعد أثره السلبي على توازن المنشآت الهندسية المشيدة عليها، الذي يتمثل في إدخال إجهادات جديدة غير محسوبة على المنشآت تؤدي إلى تصدعها أو إنهارها بصورة مفاجئة.

المقدمة

تنتشر الصخور الكلسية (الجيرية) بصورة واسعة في الطبيعة وحيث أنها تهيمن على مساحة كبيرة من سطح الأرض (في الجبال والسهول والوديان) عمد الإنسان لإستخدامها في شتى مراحل تطور الحياة. و لقد إتخذ الإنسان قديما من كهوفها سكنا له، ثم بنى من حجارها البيوت و العمارات العالية وأدخلها أخيرا في تصنيع الخرسانة و الأسمنت. تتسم هذه الصخور بحساسية كبيرة تجاه المياه في الطبيعة بشتى أنواعها، وترتفع درجة الحساسية هذه في حان تواجد بعض الأماض (Cl^- , SO_4^{--}) أو المواد الكيميائية في تلك المياه. تحلل الصخور الكربوناتيّة بسهولة في المياه تحت السطحية الملوثة ومياه الأمطار وغيرها لإحتوائها على H_2CO_3 و تتشكل فيها الكهوف الكارستية [1-5].

و بما أن تشكل و ترسيب الكلس إلى جانب بعض الأكاسيد الأخرى (Fe^{+++} , Mg^{++}) قد تم في بحار ضحلة و دافئة ضم أحيانا العديد من الحيوانات البحرية التي تقدمها لنا الطبيعة في هيئة أحافير أو قوالب أحفورية غنية بالسليس، فقد تعرضت هذه الرسوبيات الكلسية فيما بعد إلى عمليات جيولوجية حولتها إلى صخور كلسية قاسية عبر مرحلة الارتصاص و التماسك **Diageneses**، فكان منها الطرى والمتوسط و العالى القساوة [6].

تكشف على الساحل الشمالى في مصر و حول مدينة الإسكندرية مجموعة من الصخور الكلسية البتروخية **Oolitic Limestone**، كما هو موضح في الشكل 1 احدينة التكوين **Pleistocene**، لم تتعرض إلى دياجنيز عالى. تقطع حاليا كميات كبيرة منها لتصنيع أحجار البناء، كما تتخذ في مناطق أخرى كتربة أساس لئشيد المنشآت الهندسية عليها



شكل ١ الخارطة الجيولوجية لمنطقة الدراسة [7]

تربيع مدينة الإسكندرية الشاطئية على تشكيلات العتبة ١ Bar غرب الدلتا، المؤلف من عدة طبقات صخرية كلسية بطروخية، مسامية ذات لون أبيض وأصفر فاتح، تتخللها توضعات رملية (سرت حتى ٤٥ مترا عند مشروع إحياء مكتبة الإسكندرية على شاطئ البحر بمنطقة الشاطي).
يتمدد الشريط الترسيبي هذا إلى الداخل بارتفاع بسيط عن سطح البحر، مما يشير إلى ارتفاع منسوب المياه تحت السطحية في هذه المدينة. (أنظر الشكل رقم ١).

المنشآت الهندسية وهدف الدراسة

شيدت في مدينة الإسكندرية العديد من المنشآت الهندسية على صخور البلايستوسين البطروخية بأنواع مختلفة من الأساسات (أوتاد عميقة Deep Piles، أبار إسكندرية نفذت من الدبش + مونة أسمنتية عادية بأبعاد مختلفة) لترتفع إلى عدة أدوار متكررة (٦-١٦)، باستخدام نظام عمري هيكلي وجدران حماله (حوائط) من الطوب الأحمر.

بأساسات متنوعة تحت وفوق منسوب المياه تحت السطحية الملوثة. كان ذلك حافزا كافيا للقيام بهذه الدراسة، حرصا على سلامة المنشآت الهندسية والساكين، حيث أن تقييم درجة ديمومة المنشآت عنصرا هاما يدخل في تحديد حجم المبالغ المرصودة لها و نوعية الدراسات الهندسية.

لحة جيولوجية و جيومورفولوجية

تنتشر صخور البلايستوسين Pleistocene على الساحل الشمالى المطل على البحر الأبيض المتوسط لجمهورية مصر العربية، في هيئة عتبات شريطية Bars تمتد بشكل عام من الشرق إلى الغرب. تبنى هذه التشكيلات مورفولوجية خاصة و نموذجية بالشواطئ التي لا تتأثر كثيرا بالمد والجزر، إذ يعتبر البحر الأبيض المتوسط من البحار المغلقة، بسبب إنفتاحه الضيق عبر عتبة جيولوجية على المحيط الأطلسي فقط عند مضيق جبل طارق. أعلى سعة للمد سجلت محليا هي ٣ سم [7]:

قسم الباحثون هذه التوضعات إلى ٨-١٠ عتبات Bars بينما تشكيلات طينية عضوية Lagoons تأخذ نفس الإمتداد على الشاطئ [8, 9] تختلف فيما بينها سماكة الطبقات. أعتبرت تشكيلات العتبات ١-٤ غير منتظمة "Facies" [7]

بسبب التيارات المائية الحتية المتغيرة Erosion streams. تتشكل الصخور البطروخية لدى ترسيب الكالسيت في بحر ضحل دافء حول فئات ناعم جدا من بقايا الدروع الحيوانية أو ذرات السلت و الرمال بشكل قشور رقيقة جدا. يزداد حجم هذه الحبيبات كلما تحركت في مياه البحر على الشاطئ من هنا إلى هناك. وبانحسار البحر تعرضت التشكيلات إلى عملية الارتصاص و تماسك بملاط كربوناتي Carbonatic Cement.

والجيوفيزياء والمينرالوجيا والجيوتكنيك / الهندسة المدنية)، و أن حل أية مشكلة أو معضلة هندسية قائمة، يتطلب الرجوع إلى أصل وماهية المواد الهندسية وما تتركز عليه (تربة الأساسات ومكوناتها الدقيقة) وما حولها من مياه وتلوث... إلخ.

و أخيرا التركيز على العلاقة المتبادلة بين هذه النقاط مجتمعة، وأن إهمال أى عنصر من عناصر هذه المعادلة سيضلل الطريق أمام المهندس، و يقود إلى حل غير سليم.

المواد المستخدمة في الدراسة

أحضرت الصخور الخاضعة للدراسة من منطقة الساحل الشمالي عند الكيلو ٥٤، من محجر، كشفت فيه تشكيلة العتبة الشريطية (الشكل ١) المنتشرة بصورة واسعة في مدينة الإسكندرية. تشتمل هذه التوضعات على تشكلات من الصخور الكلسية البتروخية ($\phi \approx 1$ مم) المسامية؛ حبيباتها بيضاء إلى بيضاء مصفرة ذات روابط كربوناتية. بعض الكتل قاس والآخر هش، يمكن تفتيته بين الأصابع (حتى بمجرد تمرير الأصابع عليها). لذلك أختيرت العينات من كلا النوعين أعلاه.

أما المياه فأخذت من مصادر الصرف الصناعي المطروح في الطبيعة في منطقة وادي القمر. كانت المياه ذات رائحة واخذة ولون مائل للإصفرار المخضر. سجلت مواصفاتها في فقرة النتائج. تم إختيار هذه المياه بعد مقارنة تركيبها الكيميائي مع تحاليل مياه أولى الخطوط المطرية في الإسكندرية بتاريخ ٢٧/١٢/١٩٩٥، وكذلك مع المياه الجوفية من منطقة البر الغربي بمدينة الإسكندرية.

في المناطق العشوائية (مناطق المخالفات مثل العجمي... وغيرها) نفذت العديد من المنشآت الهندسية التي تجمع مياهها الماخة المستخدمة في بيارات (حفرة في تربة الأساس بدون إكساء، تصرف إليها مياه الصرف الصحي وغيرها). وفي مناطق أخرى تطرح مياه الصرف الصناعي في الطبيعة، لتختلط مع المياه تحت السطحية ذات المنسوب المرتفع و المياه الجوفية، و تجري تحت المنشآت الهندسية.

تعتبر مياه الصرف الصناعي أكثر عدوانية من غيرها(مياه الأمطار ومياه الشرب.....) على الخرسانة و الصخور الكربوناتيّة البتروخية: CO_3^{--} لما تحتويه من أملاح كيميائية منحلّة (SO_4^{--} , Cl^-). يتمثل هذا الفعل العدواني بتفتيت الصخور إلى جزيئات وإخلاله في الماء في حالة التلامس فقط [10].. و يزداد تأثيره في حالة الجريان وتحديد المياه، علما بأن للمياه في الطبيعة حركتان: أفقية و أخرى رأسية.

لدى تفرغ الصخور (تربة الأساس) من تحت الأساسات مهما كان نوعها، سيختل نظام توازن توزيع الإجهادات بين المنشأ و التربة عند سطح التماس، و تتولد إجهادات إضافية جديدة شديدة أو ضغطية في المنشأ تقود إلى ظهور أضرار عمرانية لا يحمدها عقباه [5].

تهدف هذه الدراسة إلى الوقوف على مدى تأثير مياه الصرف الصناعي الملوثة على صخور تربة الأساس الكربوناتيّة البتروخية وبالتالي على المنشآت الهندسية. من أجل ذلك صنع نموذجاً دراسياً بسيطاً كما هو مبين في الشكل ٢ يمكن عن طريقه تحديد كميات المواد المنحلّة في الماء و كذلك المنقولة مع التيارات المائية [11] وأخيراً تلك التي فتت و انفصلت عن جسم الصخر و بقيت في مكانها.

و أهم ما تهدف إليه الدراسة هو التأكيد و التنبيه على الترابط العضوي بين العلوم التطبيقية (الجيوكيمياء

مساحات شاسعة لتأسيس المنشآت الهندسية عليها، أقترح تصنيع نموذجاً بسيطاً يتألف من موشور من مادة البرسبكس. $20 \times 20 \times 120$ سم)، كما في الشكل ٢. أحدث في واجهته الأمامية والخلفية ثقبتين ثبت فيهما صنوبرين، الأول يرتفع مركزه عن القاعدة ٢,٥ سم. (T3 من الأمام)، والثاني ١٠ سم (T2 من الخلف)، أي أن الفارق بينهما المحقق للميل الهيدروليكي ٧,٥ سم وضع الموشور على طاولة بشكل أفقي، ثم رصفت فيه العينات الصخرية بصورة عشوائية حتى إرتفاع ١٥ سم، و غمرت بالماء حتى إرتفاع ١٧ سم.

التجارب المعتمدة

أخضعت العينات الصخرية في هذه الدراسة إلى عدد من الإختبارات لتحديد خواصها الفيزيائية والكيميائية والميكانيكية، منها لتحديد الرطوبة الطبيعية، والكثافة الكلية، ودرجة إمتصاص الماء حتى الإشباع (تجربة Enslin Test [12] و لفترات متنوعة و كذلك حللت على مركباتها الكيميائية.

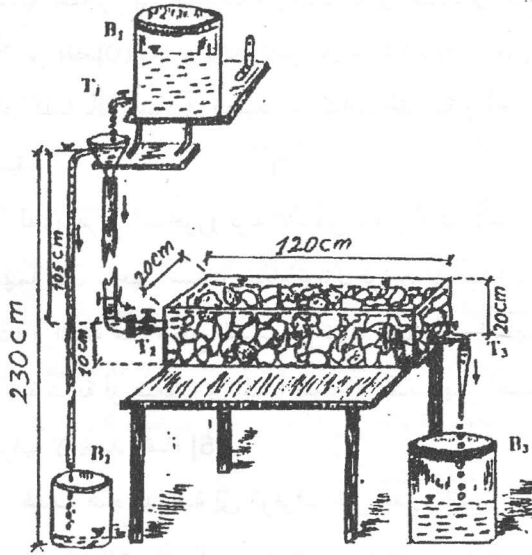
كما حدد معامل الإهترءاء (Los Angeles Test)، وأحيرا التدرج الحبيبي للمواد المفتتة المتبقية في الموشور (المنشور) عند نهاية التجربة (الجدول رقم ١).

حللت المياه المستخدمة في التجارب كيميائيا قبل بداية التجربة تحليلا شاملا و كذلك مرتين أثناء التجربة (بعد ٣٠ يوما و ٦٤ يوما) للوقوف على متغيراتها من جراء جريانها على العينات. من ناحية أخرى و للحصول على نتائج سريعة و ملموسة كانت تحدد نسبة (كمية) الأملاح المنحلة في الماء أثناء التجربة. فقد حددت هذه قبل و بعد الغمر بالماء لمدة ثلاثة أيام، ثم يوميا (لمدة أسبوع) و من بعدها أسبوعيا حتى نهاية التجربة. أثناء ذلك كانت تسجل درجات حرارة الماء التي تراوحت بين ١٥-١٦°م طوال فترة التجربة (فصل الشتاء).

حددت سرعة الجريان في نهاية التجربة (بتواجد عينات في الموشور) بإستخدام مادة ملونة. بعد تكرار التجربة عدة مرات بلغت السرعة وسطيا ١٥,٦ متر/يوم، عند كمية تدفق ثابتة (دخول و خروج) ١٥ سم^٣ / دقيقة و ذلك بمعدل ١٧٦ نقطة/الدقيقة. أي ما يعادل ٢١,٦ لتر/يوم.

النموذج الدراسي

لتمثيل مختريا ما يطرأ في الطبيعة على الصخور الجيرية البطروخية، التي تقبل التآكل في المياه، و التي أستعملت منها



شكل ٢ نموذج مبسط لآلية التجربة

توصل المياه للموشور من حوض ماء علوي (B1) سعته ٣٠ لتر له صنوبر (T1) تخرج منه الماء بتحكّم إلى قمع موصول بخراطوم بلاستيكي شفاف (مع إمكانية إغلاق من الأسفل)، يؤدي إلى الصنوبر (T2) في الموشور. ثقب القمع في أعلاه و ثبت فيه خرطوم رفيع من البلاستيك لتصريف الماء

الصخرية إلى أسفل قاع الموشور أو لتستقر على سطح الكتل التي تقع أسفل منها.

خلال عملية الغمر و بعد ثلاثة أيام لوحظ إنخفاض منسوب الماء في الموشور بما يعادل ٤ لتر و عليه يكون الصخر الجاف قد إمتص حوالي ١٨% من وزنه ماء. داخل الحوض

بدأ تشكل فقاعات غازية بأحجام مختلفة ($\Phi = 0.2, 0.3, 0.4$ سم) وارتفاعها إلى سطح ماء الغمر. يشير ذلك إلى تفاعل

الأحماض مع $CaCO_3$ و إنطلاق غاز CO_2 . دامت هذه التفاعلات عدة ساعات. كما لوحظ إرتفاع ذرات صغيرة

جدا من الصخر غطت سطح الماء في الموشور بنسبة كبيرة. بعد فترة غمر دامت ثلاثة أيام و عند درجة حرارة $15-16^\circ C$

بدأت عملية تمرير الماء من الحوض (B1) على الصخور بطريقة التنقيط ببطء شديد، بحيث يتم التحكم بكميات تدفق ثابتة

١٥ سم^٣ / الدقيقة من وإلى الموشور أي ما يعادل ٦,٢ لتر/يوم. و بسرعة جريان شبه ثابتة ٥,٦ لتر/يوم وهي سرعة

توافق و معطيات [3] Bentz et al. لمثل هذه الصخور. للتحكم في إرتفاع مستوى ماء ثابت أحدثت في أعلى القمع

فتحة تسمح بانتقال الماء الفائض بواسطة خرطوم رفيع إلى الحوض (B2)، و يضمن بذلك إستمرار تدفق ثابت خلال ال

24 ساعة. كانت المياه المتجمعة في الحوض (B3) تعاد يوميا إلى الحوض العلوي (B1) و ينتظر مدة 4 ساعات حتى يتم

هناك ترسيب المواد المنقولة من الصخور مع الماء. بعد ذلك يفتح الصنبور (T1) ثانية، علما بأن الصنبور (T3) لم يغلق

مطلقا طيلة فترة التجربة (عدا أيام الأعياد). بعد الجريان لمدة يومين تشكلت كميات كبيرة من

التخثرات الكيميائية (بطريقة الندف) ذات لون بني تعوم في الماء داخل الموشور. كانت تعلق هذه على سطح الصخور

وأحيانا تسد الصنبور (T3). مما إضطرنا لإستخلاصها من

الفائض إلى حوض تجميع (B2) وبذلك يتحقق مستوى و ضغط مائي ثابت. يرتفع مركز فتحة الصنبور (T1) حوالي

٥ سم عن قاعدة الحوض B1، لتشكيل حيز ترسيب للمواد المنقولة بواسطة الماء المتدفق من الموشور إلى حوض التجميع

(B3) بعد ضخها إلى الأعلى في الحوض (B1).

تحضير العينات و مسار تجربة التآكل Mixcorrosion

بهدف توسيع المساحة المعرضة للتماس مع الماء، حطمت الصخور إلى أجزاء بأبعاد لا تزيد عن ١٥ سم، ثم أستبعدت

منها الأجزاء المتجوية. وضعت لتجفف في فرن عند $60^\circ C$ لمدة ثلاثة أيام. نفخت كل قطعة منها بحرص شديد من جميع

جهااتها بالهواء الموجه المضغوط، بهدف إبعاد جميع العوالق عن سطحها (غبار، فئات ناعم). قدرت المساحة الخارجية

بصورة تقريبية، بغض النظر عن الإلتواءات و عدم إستواء السطح تماما، لأننا كنا سنحتاج إلى أجهزة خاصة معقدة.

بعد وزن القطع الصخرية المجففة التي ستخضع للتجربة بدقة الجرام الواحد، رصفت في الموشور بصورة عشوائية و روعي

أثناءها ملئ جميع الفحوات المتشكلة بين القطع، قدر الإمكان الشكل ٢.

الماء المستخدم في التجربة يمثل مياهها ملوثة صناعيا (مياه صرف صناعي)، أستخلصت منها الشوائب بالترشيح جيدا، و

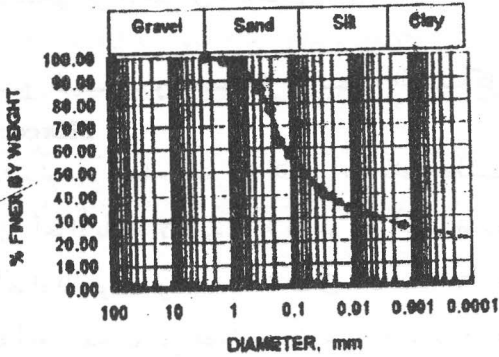
حددت خواصها الفيزيائية و الكيميائية. كنا نحتاج إلى ٥٠ لتر من هذا الماء حيث غمرت العينات بحوالي ٢٥ لتر منه و

الباقى وضع في الحوض (B1) لتأمين جريان منتظم أثناء التجربة. بطريقة التنقيط البطيء بدأ تدفق الماء من الحوض

(B1) إلى الموشور. لدى ملامسة الماء للكتل الصخرية و أثناء مرحلة الغمر، بدأ الصخر بامتصاص الماء فإهتزت بعض

جزئياته الخارجية السطحية و تحركت منسلخة عنه بشكل شرائح دقيقة و رقيقة، لتتهاوى بعد تحررها عن الكتل

يمثل الشكل ٣ التدرج الحبيبي للمواد المفتتة و المتبقية في الموشور بعد جريان الماء على الصخر لمدة ٦٤ يوما (تجربة مركبة: الجزء المنقط يمثل تجربة الهيدرومتر).



شكل ٣ التدرج الحبيبي للمواد المفتتة بالتجربة من الصخور الكلسية البتروخية

حللت الصخور الجيرية البتروخية على معادنها و أكاسيدها المركبة و سجلت النتائج في الجدول ٢.

جدول ٢ تحليل كيميائي للصخور الكلسية البتروخية بالاسكندرية

النسبة (%)	المعادن	النسبة (%)	الأكاسيد
٩١,٦٧	CaCO ₃	٤٢,٥٩	LOI
٤,٣٣	MgCO ₃	٥١,٣٣	CaO
٠,٨٠	SO ₄	٢,٠٦	MgO
٠,٥١	Cl	١,٠٠	IR
١,٤٥	R ₂ O ₃	١,٤٥	R ₂ O ₃
١,٠٠	مواد صلبة	٠,٥١	Cl
		٠,٨	SO ₃

الماء، فتبين أنها من الأكاسيد الحديدية. تكررت هذه الظاهرة عدة مرات (قارن الأجزاء الأفقية من المنحني في الشكل ٥ . إستمرت عملية الجريان ٦٤ يوما. في النهاية و قبل إستخراج الكتل الصخرية من الماء هزت كل قطعة تحت الماء بشدة داخل الموشور من أجل إبعاد كل ما هو عالق عليها من تخثرات كيميائية أو حزيقات صخرية متحررة. وزنت العينات المستخرجة بدقة الجرام الواحد و جففت في الفرن لمدة ثلاثة أيام عند حرارة ٦٠°م، ثم حددت كميات المياه المتصدة. كما حددت كميات المواد التي فقدها الصخر خلال التجربة (مواد منحللة + مواد منقولة + مواد مفتتة متفككة و منهارة في أسفل الموشور). دوت النتائج في الجدول ١ و نوقشت فيما بعد.

النتائج

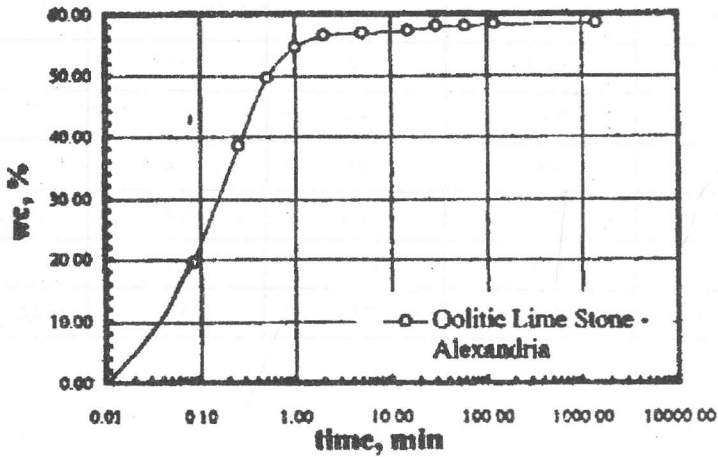
جمعت في الجدول ١ بعض الخواص الجيوتكنيكية للصخور الخاضعة للدراسة.

جدول ١ بعض الخواص الجيوتكنيكية ونتائج التجارب للصخور الكلسية البتروخية بالاسكندرية

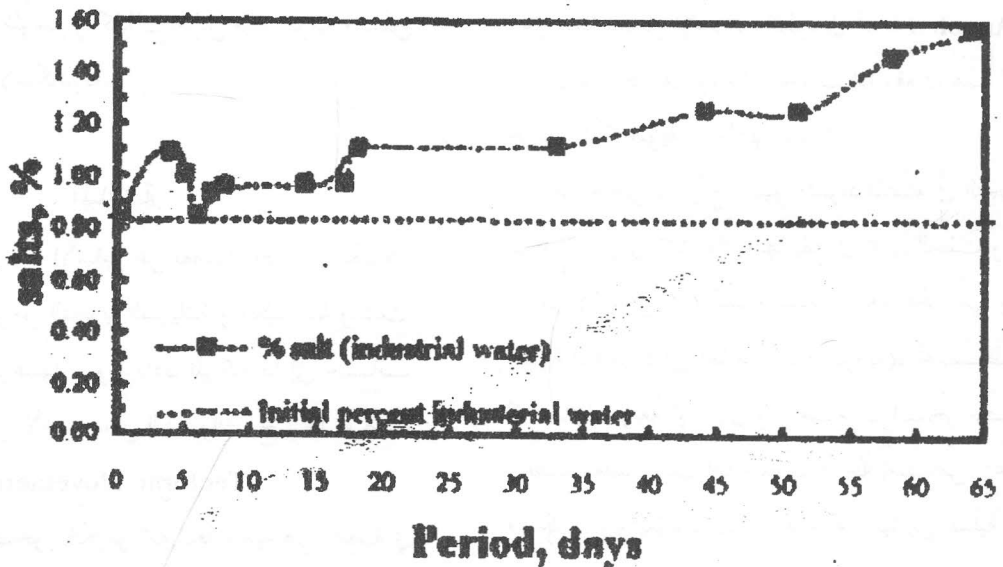
الرطوبة الطبيعية	٨,٧%
الكثافة الحجمية	١٩,٢٨ كيلو نيوتن /م ^٣ ١٩,٩٢ كيلو نيوتن /م ^٣
لوس أنجلوس (معامل الاهتراء)	٥٨%
الامتصاص (في يوم واحد)	١٥%
الامتصاص في ٦٤ يوم	١٩%
الامتصاص حتى الاشباع	٥٨%
المواد المنقولة خلال التجربة	١٧,٠٠ جرام
المواد المفتتة خلال التجربة	٢١٥,٠٠ جرام
الأملاح المنحللة عند نهاية التجربة	١,٥٧%
التدرج الحبيبي للمواد المفتتة.	٥٢/٢١/٢٧

في الشكل ٥ رسمت العلاقة بين نسبة الأملاح المنحلة في الماء قبل و خلال فترة التجربة

يوضح الشكل ٤ . تجربة Enslime [12] التي تحدد من خلالها درجة إمتصاص المكونات الناعمة للترب المارة من غربال ٢٠٠ ، للماء بالعلاقة مع الزمن حتى درجة الإشباع التام.



شكل ٤ العلاقة بين الزمن وامتصاص الماء



شكل ٥ إنحلال الأملاح في مياه التجربة

جدول ٣ التحاليل الكيميائية لمياه الصرف الصناعي خلال تجربة انحلال الصخور الكلسية الأولية / الإسكندرية

مياه الصرف الصناعي			المياه السطحية	مياه المطر	المواد
بعد ٦٤ يوم	بعد ٣٠ يوم	البداية			
٣٢٤٠٠	٢٣٥٣٠	١٥٧٠٠	٥٥٠	١٧٥	الناقلية الكهربائية
٨,٢	٨,٢	٨,٢	٧	٧	pH
٧٣٧٥	٦١٠٠	٣٠٠٠	٩٠	١٨	الكلوريدات (مجم / لتر)
٦٩٠	٧٠٠	٧٢٠	٥٧	١٨	كربونات (القساوة مجم / لتر)
٢١٩٤	٦٤٢	١٠٥	٤٨	١٥	كبريتات SO ₄ مجم / لتر
١٨٢٨	٥٢٠	٨٧	٢٠٠٠	٧٢	كبريت SO ₃ مجم / لتر
٢٦٠٨٢	١١٢٣٠	٧٥٠٠	٣٩٠	٩٠	إجمالي الأملاح غير المنحلة (مجم / لتر)

مستقبلاً. تبين لنا أن هناك نوعين من الصخور البتروخية في المقطع البروفيلي (قارن الكثافة الكلية الجدول ١)، غير أن تركيبهما المعدني متشابه تقريباً (الجدول ٢). وما يثير الإهتمام هو قيمة معامل الإهتراء الخطرة في تجربة Los Angeles = 58.0%؛ فكيف وماذا سيحدث إذا وقعت هذه الصخور تحت منشأة حيوية وتخللتها المياه؟.

من منحني التدرج الحبيبي للمواد المفتتة في التجربة نجد أن هناك حوالي ٦٣% منها يقع في مجال السلت والرمال الناعم (الشكل ٣) كما ويشير الشكل الخارجي وهيئة الحبيبة الواحدة، إلى أنها مستديرة (كروية)، تحاط بروابط كربونانية سريعة الانحلال وأن مسامات الصخر متصلة مع بعضها بعضاً، ذلك أما حققت درجة إمتصاص عالية جداً الشكل ١، و يعود ذلك إلى عدم تعرضها إلى عملية دياجنيز عالية في الطبيعة. من ناحية أخرى نجد أن درجة الإشباع التام لدى التفكك الكلي لذراتها الناعمة بلغت ٥٨% (الشكل ٥). تمتص هذه النسبة من الماء من قبل المواد المارة من غربال

كما دونت في الجدول ٣ نتائج التحاليل الكيميائية التي أجريت على عينات الصرف الصناعي قبل التجربة و خلال شهرين تقريباً إلى جانب نتائج تحاليل أولى الهطولات المطرية في الإسكندرية لهذا الموسم وكذلك تحاليل مياه حوفية من منطقة البر الغربي بالإسكندرية.

الناقشة

تميز صخور تربة الأساس عن بعضها بعضاً جيوتكنيكياً بدرجة مقاومتها لعوامل التجوية الفيزيائية والكيميائية وذلك بناء على نشأتها ونوعيتها و المعادن المركبة لها إلى جانب العديد من العوامل الأخرى مثل البنية والنسيج و ما تعرضت له من تكتونيك Tectonic Movements . وحيث أن الصخور الكربونانية البتروخية هي المعنية في هذه الدراسة يتوجب التعرف على جميع خواصها الجيوتكنيكية وغيرها على أكمل وجه من أجل الحفاظ على توازن جيد و سليم للمنشآت الهندسية التي نفذت بل وستنفذ عليها

وكثيرا ما تتشكل أيضا أملاحا غير قابلة للذوبان مثل الجبس $CaSO_4$.

و بعض الأكاسيد الحديدية المائية وغيرها: $FeO(OH)_2$, Fe_2O_3 ، أي الهيماتيت و الجيوتيت؛ لتبعد عن الماء. أما غاز الكربون CO_2 فيوصف لدى [13] Neumann بأنه غاز حر معتدي، سيقود مباشرة بعد تشكله مرحلة إنحلال صخري جديدة، ترداد فاعليتها مع إنخفاض درجات الحرارة. و هذه الظاهرة خطيرة على الخرسانة أيضا.

إن مجموع ما خسره الصخر (الذي وزنه ١٦٢,٢٢) كيلو جرام نتيجة لعمليات التآكل المشترك Mixcorrosion (تفتت و نقل + إنحلال) في هذه التجربة بلغ ٢,٠٧٢% . فإذا علمنا أن هذه النتيجة تنحصر في ثوابت فعل طاق صخر مساحته التقديرية ١٥,٦ متر/يوم، و لمسافة تماس = ٢,٢ متر، تحت سرعة جريان ١٥,٦ متر/يوم، و كمية تدفق مائي ٢١,٦ متر/يوم أصبح لدينا ملكية تصور ما يمكن أن يجري في الطبيعة و خاصة تحت المنشآت اهندسية. فالصخور في الطبيعة متشققة ومساحة التماس كبيرة جدا و إمكانية تجدد و تدفق المياه الطازجة على الصخور متوفرة دائما.

الخلاصة

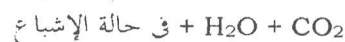
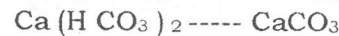
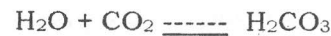
يستخلص من نتائج هذه التجربة التي مثلت في المختبر بنموذج بسيط جدا:
أن المنشآت اهندسية المنفذة على صخور كلسية، مارلية و بطروخية أيضا، هي دائما في خطر، إن لم تجر قبل تصميمها و تنفيذها دراسات جيوكيميائية و مينرالوجية و جيوتكنيكية هادفة على تربة الأساس لتحديد كيفية التأسيس عليها في مجال منسوب المياه الجوفية.

و حيث أننا لا نجد في الطبيعة مياهها ساكنة (سطحية،

تحت سطحية أو جوفية) فإن حرركاتها و سرعاتها، خاصة

٢٠٠ علما بأن حوالي ٢٧% من مركبات الصخر البتروخي يقع في مجال التدرج الغضاري Clay fraction و هي من معادن الكالسيت والدولوميت (الجدول ٢). تماشيا مع الملاحظات المسجلة لدى بداية مرحلة الغمر، فإن جزئيات عديدة ستساقط عن الكتل الصخرية و بذلك تفتح المجال مجددا أمام اجزئيات المكشوفة حديثا للإنحلال و التفتت السريع [10] Mixcorrosion، ينتج عن ذلك إرتفاع نسبة الأملاح المنحلة في الماء (الشكل ٥).

من الجدول ٢ نجد أن ٩٨% من المعادن المركبة للصخر قابلة للإنحلال، مما سيساعد في رفع كمية الأملاح المنحلة في الماء خلال مسار التجربة (الجدول ٢ - SO_4^{--} , Cl^-). تتضح هذه الصورة من خلال عملية التكرار للجريان و رفع كمية الجوامد الصلبة الذائبة (من ٧٥٠٠ جم/لتر إلى ٢٦٠٨٢)، التي تتوافق و الإرتفاع الطردي لقيمة الناقلية الكهربائية. تلمس عدوانية الماء منذ أول فترة ملاسته الصخر وبدون أي جريان. هنا ترفع نسبة الأملاح المنحلة فيه بعد ثلاثة أيام من الغمر إلى ٥١,٠٩٠%. الشكل ٥ لتبدأ بالإخفاض مع أول يوم جريان الماء فوق الصخور. تقسر هذه الظاهرة بتشكل أملاح غير منحلة في هذا الوسط، و إنفصالها عن الماء لتعلق على سطح الكتل الصخرية أو لتسقط إلى قاع المشور. كانت هذه تستخلص من الماء باستمرار كسي لا تحجب ملامسة الماء لسطح الصخر و تحد من عملية الإنحلال. وعليه نلاحظ أنه بعد كل عملية إستخلاص يحدث إرتفاعا جديدا لنسبة الأملاح المنحلة (الشكل ٥). يمكن توضيح ذلك من خلال المعادلات التالية باختصار:



المقترحات

عدد الإضطراب لتنفيذ منشآت هندسية على صخور كلسية بطروخية في نطاق منسوب المياه تحت السطحية يفترض بالمهندسين الإلمام الشامل بأمر العلاقات الجيو كيميائية و الجيوتكنيكية و المينرالوجية المتبادلة بين كل من الخرسانة و الصخور (تربة التأسيس) و المياه بأنواعها المتواجدة في موقع العمل. و من أجل الحفاظ على سلامة المنشآت الهندسية و خاصة السكنية منها، و كذلك من أجل الوصول إلى درجة مقبولة من الديمومة نقترح ما يلي:

١. القيام بدراسات جيوتكنيكية و جيو كيميائية و هيدرولوجية مركزة على الصخور الكربوناتيّة المتواجدة في نطاق المياه تحت السطحية. هنا علينا ألا نبخل بالتكاليف الأولية، لأن ذلك سينعكس إيجاباً على ديمومة المنشأة بشكل عام، و على البيئة و سلامة السكان بشكل خاص.
٢. التأكد من عزل أساسات المنشآت الهندسية جيداً عن المياه المعتدية.
٣. عدم طرح مياه الصرف الصناعي، و المخلفات الصناعية في الطبيعة مما لها من تأثير مدمر على تربة الأساسات، حتى وإن إختلطت مع المياه تحت السطحية.
٤. حرصاً على سلامة البيئة و المجتمع يتوجب معالجة هذه المياه بصورة جيدة قبل طرحها في الطبيعة (فى البحار، و البحيرات و الأنهار و الترغ).
٦. لمعرفة مجريات الأمور أكثر يفضل إجراء تحاليل كيميائية شاملة على مياه الجريان في التجربة يومياً بدلا من شهرياً وذلك بواسطة جهاز الإمتصاص الذري لحصر تغيرات جميع الأيونات الداخلة في التجربة (في الماء و الصخور).
٧. إخضاع المنشآت الهندسية المنفذة على مثل هذه الصخور لعمليات مراقبة دقيقة جدا و طويلة الأمد، لقياس أية تغيرات تطرأ عليها بعد تشييدها مثل: الهبوطات غير المتجانسة التصدعات في الجدران و العناصر الخرسانية وغيرها.

حول الأساسات و تحتها أثراً فعالاً على سلامة منطقة التماس و الارتكاز، و على الأخص إن كانت ترتكز على صخور قابلة للإخلال و سهلة التفتت (العينات الخاضعة للدراسة).

من ناحية أخرى تغطى الصخور في الطبيعة (تربة الأساس) دائماً بشبكية تشقق أو تفلق أو غيرها من التراكيب الثانوية، لذلك ستجد المياه بأنواعها طرقاً سهلة لجريانها و القيام بعمليات تآكل صخري مزدوجة Mixcorrosion تحت المنشآت الهندسية. ينتج عن ذلك إتساع عرض الشقوق و تعميقها و تشكل كهوف كارستية.

يزداد تأثير المياه على تربة الأساس لدى إحتوائها على أملاح منحلة كمياد الصرف الصناعي و الصحي، و مياه الأمطار ولن ينخفض هذا التأثير لدى إختلاط هذه المياه المعتدية مع المياه تحت السطحية.

لدى حدوث هذه العمليات تحت المنشآت الهندسية ستشكل فراغات و كهوف (كارست Karst) تحت الأساسات و ستتخفف قيم الخواص الميكانيكية لتربة الأساس، مما سيؤدي إلى تحرك الأساسات بصورة خطيرة ينتج عنها ظهور أضرار عمرانية جسيمة في المنشآت الهندسية. غالباً ما تصل هذه إلى درجة عالية من الخطورة (حسب درجة التصدع). و عليه تقييم درجة الخطورة، و يتخذ القرار النهائي بالتدعيم أو الهدم، أو أن يفاجأ الجميع بإختيار المنشآت على ساكنيها كما حدث في مناطق عديدة من العالم [5].

بناء على ما تقدم، يتوجب عدم إستثناء تأثير مياه البحر من هذه المعادلة، نظراً لما تحتويه من العديد من الأملاح المنحلة فيها و حركتها المستمرة تحت الأساسات بالقرب من الشواطئ.

and Microfacies" Bull. Inst. d'Egypte, Vol .37, pp. 395 -427, (1950).

10. A. Bogli, "Mischkorrosion- Ein Beitrag Zum Verkarstungsproblem", Erdkunde, 18, DuemlerVerl. Bonn, pp. 83-92, (1964).
11. R.Floss, "Zusaetzliche Technische Vorschriften und Richtlinien fuer Erdarbeiten in Strassenbau", ZTVE, StB.76, Komentar", Bonn, pp. 454, (1979).
12. E.Schultze, H. Muhs, Bodenuntersuchungen fuer Ingenieur-Bauten. 2te Aufl., Springer Verl., pp. 722 (1967).
13. R. Neumann, "Geologie fuer Bauingenieure", Wilh. Ernst & Sohn Verl., Berlin, pp. 785, (1964).

كلمة شكر

شكري الجزيل لجميع الأساتذة الدكاترة في إدارة كلية الهندسة - جامعة الإسكندرية، و كذلك للزملاء الأساتذة الدكاترة في معمل ميكانيكا التربة و الأساسات، و إلى جميع مهندسيه والعاملين فيه لتعاونهم الفعال. و أتوجه بالشكر الخاص للأستاذ الدكتور ألكسان بيي سالم و الدكتورة هدى رشدي هندي/ مختبر الكيمياء لما أسدياه من جهد ليكون البحث عند هذا المستوى.

المراجع

1. R.Brinkmann, "Lehrbuch der Allgemeine Geologie", Bd.III, Enke Verl., Stuttgart, pp. 450, (1967).
2. H. Prinz, Abriss der Ingenieur Geologie, Enke Verl., Stuttgart, pp. 419, (1982).
3. A. Bentz and H.-J. Martini, "Lehrbuch der Angewandten Geologie", Bd. II, Teil 2, , EnkeVerl. Stuttgart, pp. 1357-2151 (1969).
4. M.A. Shaikh Mashail, Principle of Engineering Geology, pp. 493 , Theo. Part, Aleppo University, (1986).
5. M.A. Shaikh - Mashail, "Deteriorating and Supporting of Building in Karst area.", Arab Eng. Journal., Vol. 111, pp. 11-15, (1994).
6. D.U. Deere, "Geological Consideration", Rock Mech. Eng. Practice. Editors: Stagg and Zienkiewicz, Joh Wiley and Sons., pp. 1-20, (1968).
7. K.W. Butzer, "On the Pleistocene Shore Lines of Arab's Gulf, Egypt", The Journal of geol., University of Chicago, pp. 1357-2151 (1969).
8. F.E. Zeuner, Dating the Past., Methuen and Co., 4th ed., pp. 516, (1950).
9. N.M. Shukri, G. Philip, and S. Rushdi, "The Geology of the Mediterranean Coast Between Rosetta and Bardia", II. Pleistocene Sediments: Geomorphology

Mixcorrosion of Oolitic Limestone (Foundation Rock) in Disposed Industrial Water

M.A. Shaikh-Mashail

Geotechnical Engineering, Aleppo University, Faculty of Civil Engineering, Syria

ABSTRACT

The detrimental effect of industrial disposed water contaminated with SO_4^{--} , and Cl^- is not limited to destruction of the environmental beauty and safety, but it is extended to construction materials (e.g. aggregates, sand, cement, which are the main components of concrete), and to the supporting soil (carbonatic oolitic lime stone) as well.

Such effect has been experimentally studied using a simple model. The results are very useful and can be applied to structures founded on media under the influence of aggressive water. The analysis has shown that about 2.07 % (by weight) mixcorrosion took place in the oolitic limestone when subjected to aggressive water for 65 consecutive days. This imposes additional stresses to the superstructure, which may cause its deterioration eventually its failure.

Received May 13, 1996
Accepted August 15, 1998